

М. А. ГОЛУБ, В. А. СОЙФЕР

(Куйбышев)

ОПТИМИЗАЦИОННЫЙ ПОДХОД К МАШИННОМУ СИНТЕЗУ ГОЛОГРАФИЧЕСКИХ ПРОСТРАНСТВЕННЫХ ФИЛЬТРОВ

Введение и постановка задачи. Важнейшими элементами оптических процессоров являются пространственные фильтры, представляющие собой транспаранты с пространственно-модулированным коэффициентом пропускания. Наиболее общие методы получения таких транспарантов дает цифровая голография. Машинные голограммы, предназначенные для оптических процессоров, назовем голографическими пространственными фильтрами, а процесс их получения — машинным синтезом.

Машинный синтез голографических пространственных фильтров должен осуществляться по критерию точности, определяемому задачей пространственной фильтрации и структурой оптического процессора, с учетом системы ограничений, т. е. класса реализуемых функций V , обусловленного техническими характеристиками устройств регистрации машинных голограмм. Задача машинного синтеза состоит в выборе функции $\Gamma \in V$, обеспечивающей требуемое значение критерия точности. Известно большое число эмпирических методов машинного синтеза голограмм [1]. Наиболее перспективен оптимизационный подход [2, 3]. В данной работе строятся алгоритмы машинного синтеза широкого класса голограмм по взвешенному среднеквадратическому критерию и проводится анализ эффективности алгоритмов.

Формулировка критерия синтеза. Введем следующую терминологию. Непрерывное волновое поле, определяющее характеристики пространственного фильтра, назовем эталонным образом. Класс эталонных образов обозначим через S . Процесс работы машинной голограммы в оптическом процессоре с точки зрения преобразования сигналов назовем пространственной фильтрацией, а с точки зрения математического описания — восстановлением образа с машинной голограммы.

Эталонный образ описывается функцией $w(x, y)$, определенной на плоскости (x, y) и финитной в области G , голограмма — функцией $\Gamma(u, v)$, заданной на плоскости (u, v) и финитной в области D , а структура оптического процессора — оператором K_0 . Например, для голограмм Фурье K_0 есть преобразование Фурье F , для голограмм сфокусированных изображений K_0 — тождественный оператор E . Восстановление образа с машинной голограммы производится путем освещения голограммы волновым фронтом

$$E(u, v) = ee_0(u, v),$$

где e — масштабный множитель.

Наиболее часто освещающий волновой фронт плоский, т. е.

$$e_0(u, v) = \exp [i(k_1u + k_2v)] \quad (1)$$

(k_1, k_2 — параметры наклона плоской волны к плоскости голограммы). Образ, восстановленный с голограммы, описывается уравнением

$$\gamma = K[\Gamma], \quad (2)$$

где оператор K определяется равенством

$$K[\Gamma] = eK_0[e_0\Gamma]. \quad (3)$$

При этом функция

$$W = K_0^{-1}[w] \quad (4)$$

называется математической голограммой.

Вследствие отличия машинной голограммы Γ от математической W образ γ , восстановленный с голограммы, отличен от эталонного образа ω на величину ошибки

$$h(x, y) = \gamma(x, y) - \omega(x, y). \quad (5)$$

Для задач пространственной фильтрации имеет место взвешенный среднеквадратический критерий точности (B — норма)

$$\rho(\omega, \gamma) = \|\omega - \gamma\|_B, \quad (6)$$

где

$$\|h\|_B = \{(h, h)_B\}^{1/2}; \quad (7)$$

$$(h_1, h_2)_B = (B[h_1], h_2); \quad (8)$$

$$(g_1, g_2) = \int_G g_1(x, y) g_2^*(x, y) dx dy.$$

Весовой оператор B является самосопряженным, положительно определенным. Например, в задаче обобщенного спектрального анализа двумерных случайных полей с корреляционной функцией $B(x, y; x', y')$ весовой оператор определяется равенством

$$B[\Psi](x, y) = \int_G B(x, y; x', y') \Psi(x', y') dx' dy'. \quad (9)$$

В случае же винеровской фильтрации двумерного случайного поля с энергетическим спектром $G_\xi(\omega_x, \omega_y)$, трансформированного искажающей линейной системой с передаточной функцией $S(\omega_x, \omega_y)$ и зашумленного аддитивным некоррелированным шумом с энергетическим спектром $G_n(\omega_x, \omega_y)$, B есть оператор умножения на весовую функцию

$$\beta(\omega_x, \omega_y) = |S(\omega_x, \omega_y)|^2 G_\xi(\omega_x, \omega_y) + G_n(\omega_x, \omega_y). \quad (10)$$

Наконец, в задаче синтеза эталонных волновых фронтов естественно ввести критерий точности (6) — (8) с равномерным весом (т. е. B — тождественный оператор).

Критерий синтеза голографических пространственных фильтров определяется критерием точности и структурой оптического процессора по формуле

$$\epsilon_B^2(\Gamma) = \|\omega - K[\Gamma]\|_B. \quad (11)$$

Ограничения при машинном синтезе голограмм. Машинный синтез голограмм производится на ЭВМ, сопряженной с устройством регистрации голограмм. Тип устройства регистрации определяет класс V функций, описывающих машинные голограммы (класс реализуемых функций). Характерная черта таких устройств — дискретизация с конечным числом обобщенных отсчетов N_r и квантование каждого обобщенного отсчета по m двоичным разрядам, т. е. по $M = 2^m$ уровням.

Обозначим через d_{kj} булеву переменную, равную значению j -го дво-

ичного разряда k -го обобщенного отсчета, а через $d = \{d_{kj} | k=1, \dots, N_\Gamma; j=1, \dots, m\}$ массив данных в памяти ЭВМ, соответствующих машинной голограмме. Функция устройства регистрации состоит в преобразовании (интерполяции) массива двоичных разрядов d в непрерывную функцию пропускания машинной голограммы. Для широкого класса устройств регистрации справедлива модель интерполяции, описываемая формулами

$$\Gamma(u, v) = \sum_{k=1}^{N_\Gamma} \Gamma_k g_k(u, v); \quad (12)$$

$$\Gamma_k = d_\Gamma(d_{k1}, d_{k2}, \dots, d_{km}), \quad (13)$$

в которых $d_\Gamma(t_1, \dots, t_m)$ — вообще говоря, нелинейная комплекснозначная функция m булевых переменных, определяющая метод кодирования машинной голограммы; $\{g_k(u, v)\}$ — система базисных функций, называемых функциями рассеивания устройства регистрации. Величина Γ_k , очевидно, представляет обобщенный отсчет, имеющий смысл коэффициента разложения в ряд по базису $\{g_k(u, v)\}_1^{N_\Gamma}$.

Отметим, что d_Γ — булева функция для бинарных голограмм; вещественнозначная функция, принимающая конечное число значений, для многоградационных голограмм; чисто фазовая функция для фазовых голограмм и киноформа и, наконец, существенно комплекснозначная функция для «сэндвич-голограмм». Нелинейность функции d_Γ отражает нелинейное предскажение, имеющее место в устройствах регистрации машинных голограмм.

Базис $\{g_k(u, v)\}_1^{N_\Gamma}$ представляет обычно пространственно-инвариантный базис вида

$$g_{kp}(u, v) = g((u - \alpha_k)/\delta u, (v - \beta_p)/\delta v), \quad (14)$$

$$k=1, \dots, N_x; p=1, \dots, N_y; N_x N_y = N_\Gamma$$

(упорядоченный сначала по второму, а затем по первому индексу). Здесь $g(u, v)$ — функция, описывающая форму раstra устройства регистрации; $\delta u, \delta v$ — пространственное разрешение устройства по осям u и v ; (α_k, β_p) — точки в области определения голограммы D , причем последовательности чисел $\{\alpha_k\}_1^{N_x}$ и $\{\beta_p\}_1^{N_y}$ являются арифметическими прогрессиями.

В известных устройствах растр является прямоугольным, т. е.

$$g(u, v) = \text{rect}(u) \text{rect}(v),$$

$$\text{rect}(u) = \begin{cases} 1, & |u| \leq \frac{1}{2}; \\ 0, & |u| > \frac{1}{2}, \end{cases} \quad (15)$$

или имеет гауссовскую форму

$$g(u, v) = \exp[-(u^2 + v^2)/2\sigma^2].$$

Алгоритмы оптимизации машинных голограмм. Наличие критерия и системы ограничений позволяет интерпретировать машинный синтез как задачу оптимизации

$$\varepsilon_B(\Gamma_0) = \inf_{\Gamma \in V} \varepsilon_B(\Gamma) \quad (16)$$

или как задачу поиска наилучшей аппроксимации эталонного образа $\omega \in C$ функциями $\gamma \in Y = K(V)$ вида

$$\gamma(x, y) = e \sum_{k=1}^{N_\Gamma} \Gamma_k \varphi_k(x, y), \quad (17)$$

где

$$\varphi_k(x, y) = K_0[e_0(u, v)g_k(u, v)]. \quad (18)$$

Преобразуем критерий синтеза в форму, удобную для проведения оптимизации. Введем параметры

$$\omega_k = (\omega, \varphi_k), \quad (19)$$

$$B_{ki} = (B[\varphi_i], \varphi_k) \quad (20)$$

и линейное преобразование

$$Z_k = \sum_{i=1}^{N_\Gamma} B_{ki}\omega_i. \quad (21)$$

Тогда критерий (11) перепишется таким образом:

$$\varepsilon_B^2(d) = b_0 - 2e \operatorname{Re} b_1(d) + e^2 b_2(d), \quad (22)$$

где

$$b_0 = (B[\omega], \omega); \quad (23)$$

$$b_1(d) = \sum_{k=1}^{N_\Gamma} Z_k \Gamma_k; \quad (24)$$

$$b_2(d) = \sum_{k=1}^{N_\Gamma} \sum_{i=1}^{N_\Gamma} B_{ki} \Gamma_k \Gamma_i \quad (25)$$

(Re — символ вещественной части комплексного числа).

Масштабный множитель e может быть определен, например, из условия минимизации по параметру e критерия (22):

$$e = (\operatorname{Re} b_1(d)) / b_2(d). \quad (26)$$

Критерий ε_B^2 является вещественнозначной функцией $N_\Gamma m = N_d$ булевых переменных (т. е. псевдоболевой функцией [4]). Задача минимизации (16) сводится к задаче бивалентного математического программирования без ограничений [5]:

$$\varepsilon_B(d') = \min_d \varepsilon(d). \quad (27)$$

Ряд алгоритмов минимизации псевдоболевых функций построен в работах [4, 5]. Однако размерности решаемых задач бивалентного программирования не превышают 100–300 даже для простых критериев. В задачах синтеза голограмм типичные значения $N_\Gamma \sim 10^3 \div 10^6$, $m \sim 1 \div 16$ и, следовательно, размерность задачи бивалентного программирования имеет порядок $N_d \sim 10^3 - 10^7$. Массивы таких размеров хранятся на внешних запоминающих устройствах ЭВМ, что повышает время выборки, затрудняет работу с массивом в целом и делает наиболее доступными сканирование цифрового массива и работу с отдельными его элементами. Кроме большой размерности задачи (27), следует отметить также агрегатирование переменных d_{kj} по формулам (13).

Построен итерационный алгоритм бивалентного программирования для решения задач машинного синтеза голограмм. Входными данными для алгоритма является массив обобщенных отсчетов (19) эталонного образа. Задается начальное приближение

$$d^{(0)} = \{d_{kj}^{(0)}; k = 1, \dots, N_\Gamma, j = 1, \dots, m\}.$$

На r -й итерации по массиву $d^{(r-1)} = \{d_{kj}^{(r-1)}\}$ строится массив $a^{(r)} = \{a_{kj}^{(r)}\}$. Для этого массив $\{d_{kj}^{(r)}\}$ сканируется по индексу $k=1, \dots, N_\Gamma$.

При каждом значении k проверяется некоторое условие A относительно значений переменных $d_{k1}^{(r-1)}, \dots, d_{km}^{(r-1)}$. Например, можно выбрать A в виде

$$A = \left\{ e^2 \sum_{i=1}^{N_\Gamma} B_{ki} \Gamma_i - 2e \operatorname{Re} Z_k > P \right\}, \quad (28)$$

где P — некоторое пороговое значение. Если условие A выполнено, то значения булевых переменных должны быть изменены. Последнее осуществляется путем применения алгоритма псевдобулевой оптимизации [5] к псевдобулевой функции $f_k^{(r)}(t_1, \dots, t_m)$, порождаемой критерием $\varepsilon_B^2(d)$, в котором переменные d_{ij} с $i \neq k$ зафиксированы и принимают значения

$$d_{ij} = \begin{cases} d_{ij}^{(r)}, & i < k, j = 1, \dots, m; \\ d_{ij}^{(r-1)}, & i > k, j = 1, \dots, m, \end{cases} \quad (29)$$

а переменные $d_{k1}=t_1, d_{k2}=t_2, \dots, d_{km}=t_m$ варьируются. Блок-схема алгоритма минимизации функции $f_k^{(r)}(t_1, \dots, t_m)$ приведена на рис. 1.

Через $f_j (j=1, \dots, m)$ обозначена промежуточная псевдобулева функция $m-j+1$ переменных.

После проведения полного цикла сканирования по индексу $k=1, \dots, N_\Gamma$ r -я итерация заканчивается. Итерирование происходит до тех пор, пока не достигнута заданная точность или не исчерпывается

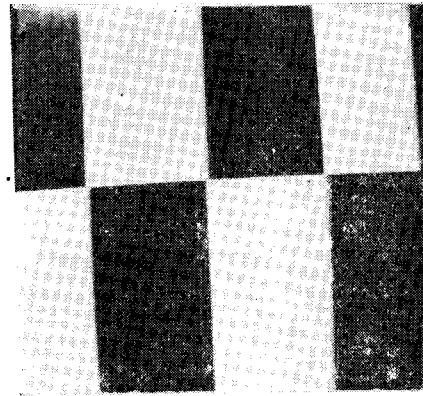
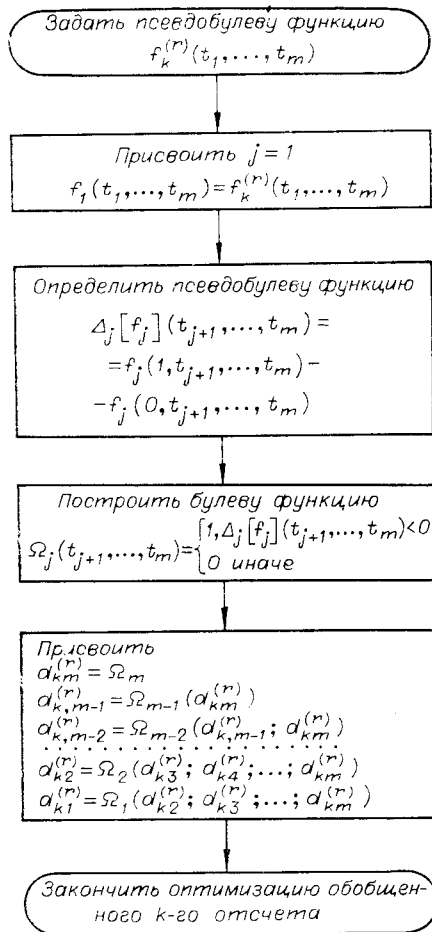


Рис. 2. Начальное приближение для бинарного пространственного фильтра, реализующего базисную функцию (2, 4) разложения Карунена — Лозва.

Рис. 1. Блок-схема алгоритма оптимизации одного обобщенного k -го отсчета машинной голограммы.

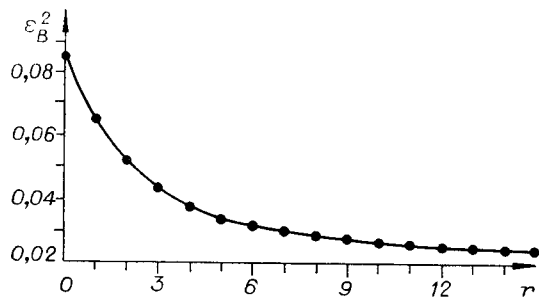


Рис. 3. График зависимости критерия ϵ_B^2 от номера итерации.

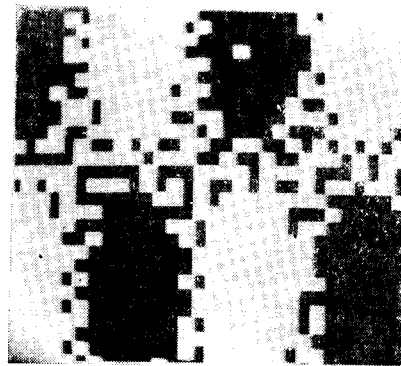


Рис. 4. Квазиоптимальный бинарный пространственный фильтр, реализующий базисную функцию (2, 4) разложения Карунена — Лоэва.

машинное время, отведенное для работы алгоритма. Значения двоичных разрядов $d^{(r)}$ на последней итерации определяют квазиоптимальный алгоритм работы устройства регистрации машинных голограмм по формулам (12), (13). Устройство регистрации реализует квазиоптимальную машинную голограмму в виде транспаранта.

Описанный алгоритм реализован в виде процедуры, написанной на языке PL/1. В качестве теста проведена оптимизация бинарного ($m=1$) пространственного фильтра, содержащего $N_T=32 \times 32=1024$ отсчетов, реализующего в пространственной области (K_0 — тождественный оператор) базисную функцию (2, 4) разложения Карунена — Лоэва двумерного случайного поля биэкспоненциальной корреляционной функцией [6].

Использовалась ЭВМ М4030. Регистрация голограммы проводилась сопряженным с ЭВМ устройством микрофильмирования, выполненным на базе стандартной электронно-лучевой трубки и малоформатного фотоаппарата. Параметры корреляционной функции выбраны так, что на размере области определения поля укладывается 8 интервалов корреляции. В качестве начального приближения использован пространственный фильтр, изображенный на рис. 2. Оптимизация проводилась за 15 итераций; время проведения одной итерации — около 5 мин.

График зависимости критерия от номера итерации приведен на рис. 3. (За единицу взято наибольшее собственное число разложения Карунена — Лоэва.) Квазиоптимальный бинарный пространственный фильтр, являющийся результатом выполнения процедуры оптимизации, изображен на рис. 4. Видно, что алгоритм оптимизации обеспечивает монотонную сходимость и позволяет повысить точность машинного синтеза в 3, 3 раза.

Заключение. Оптимизационный подход к машинному синтезу голограмм позволяет строить алгоритмы, обеспечивающие высокую точность синтеза голограмм. Алгоритмы оптимизации машинных голограмм эффективно реализуются на универсальной ЭВМ, сопряженной с устройством регистрации изображений, и позволяют улучшить характеристики машинных голограмм по сравнению с классическими методами синтеза, принятыми в цифровой голографии.

ЛИТЕРАТУРА

1. Хуанг Т. Цифровая голография.— В кн.: Применения голографии. М., «Мир», 1973, с. 65—78.
2. Ефимов В. М., Лившиц З. А., Нестеров А. А., Орлов А. П., Плясов В. М., Резник А. Л. Об одном подходе к задаче машинного синтеза голограмм.— В кн.: Вопросы построе-

- ния систем сбора и обработки данных. Новосибирск, изд. ИАиЭ СО АН СССР, 1973. с. 64—69.
3. **Gallagher N. C., Liu B.** Method for computing kinoform that reduces image reconstruction errors.— "Appl. Opt.", 1973, vol. 12, N 10, p. 2328—2335.
 4. **Hammer P. L.** Boolean procedures for bivalent programming.— In: Mathematical Programming in Theory and Practice. Ed. by P. L. Hammer and G. Zoutendijk. North-Holland Publishing Company, 1974, p. 311—363.
 5. **Саати Т.** Целочисленные методы оптимизации и связанные с ними экстремальные проблемы. М., «Мир», 1973.
 6. **Сойфер В. А.** Цифровые голографические фильтры для систем автоматизации научных исследований.— В кн.: Структура, технические средства и организация систем автоматизации научных исследований. Л., изд. ЛИЯФ, 1977, с. 350—353.

Поступила в редакцию 1 июня 1978 г.

УДК 62.50 : 621.391.136

В. Т. ДАВЫДОВ, О. И. ПОТАТУРКИН

(Новосибирск)

СРАВНИТЕЛЬНЫЙ АНАЛИЗ АЛГОРИТМОВ РАСПОЗНАВАНИЯ ИЗОБРАЖЕНИЙ

Проблема распознавания изображений содержит два основных аспекта: выбор системы признаков, обеспечивающий существенное сжатие информации без значительной потери ее информативности, и выбор оптимального алгоритма (критерия) распознавания. Предложенная в работах [1, 2] модель распознаваемого изображения (РИ) с выбором на ее основе системы признаков (стилизованные контурные эталоны) дала возможность повысить качество распознавания и сделать такой процесс инвариантным к изменению разрешения и контраста фотоснимка, к искажению формы РИ, а также к некоторому изменению его масштаба и ориентации. Что касается алгоритма распознавания, то его следует выбирать, исходя из статистических свойств шума. Однако в реальной ситуации такая статистика, как правило, неизвестна. Поэтому необходимо провести сравнительный анализ алгоритмов распознавания, полученных на основе различных предположений о статистических свойствах шума.

В работе [2] показано, что, если закон распределения шума, накладываемого на амплитудное пропускание на контурах, близок к нормальному и не меняется при переходе от участка к участку, решающее правило имеет вид:

$$\begin{aligned} |\bar{m}^{(1)} - \bar{m}^{(2)}| &\leq z_{\alpha/2} \sqrt{\bar{D}^{(1)} + \bar{D}^{(2)}} \quad (\text{РИ отсутствует}); \\ |\bar{m}^{(1)} - \bar{m}^{(2)}| &> z_{\alpha/2} \sqrt{\bar{D}^{(1)} + \bar{D}^{(2)}} \quad (\text{РИ присутствует}), \end{aligned} \quad (1)$$

т. е. средний контраст по контуру сравнивается с величиной суммарной тангенциальной (по отношению к контурам) дисперсии. (Здесь и далее применяются обозначения, принятые в [2].)

Если характеристика случайных процессов меняется при переходе от участка к участку, то возможно перекрытие функций распределения. В этом случае необходимо переходить к многомерному статистическому анализу, где в качестве координатных осей принимаются координаты S_i (i меняется от 1 до N). Координаты выбираются так, чтобы законы распределения на каждом i -м участке были одномодальными